

ПЕРЛИТОВЫЕ ДАЦИТЫ ШАЙМСКОГО НЕФТЕГАЗОНОСНОГО РАЙОНА ЗАПАДНОЙ СИБИРИ

К.С. Иванов, Ю.В. Ерохин, Ю.Н. Федоров, М.Ф. Печеркин

Базальт-риолитовая формация триаса очень широко распространена в фундаменте Западно-Сибирского нефтегазоносного мегабассейна, выполняя ряд грабенов заложившихся на начальном этапе его формирования. Эти риолиты изучены по многочисленным скважинам [Иванов, 1974 и др.], но часто они представлены достаточно сильно измененными аргиллизированными и выветрелыми разностями. Изучать первичные петро-геохимические особенности таких пород достаточно затруднительно, тем интереснее находка кислых вулканических стекол.

Вулканическое стекло обнаружено нами в пределах Тальниковой площади в скважине 10074 на глубине 1820 метров. Образец имеет черную окраску, местами переходящую в кремово-розовую. Порода сильно трещиновата и пронизана цеолитовыми прожилками. В шлифах вулканит состоит из афировой стекловатой матрицы, содержащей скопления и прожилки, выполненные агрегатами параллельно-шестоватого морденита розовато-серого цвета (рис.1). Мощность прожилков достигает 0,5 мм. В самих прожилках морденита и рядом с ними почти всегда наблюдаются просечки или отдель-

ные сферолиты коричневого левинита, радиально-лучистого строения, размером не более 0,1-0,2 мм. Само стекло представлено практически изотропной массой, местами со скорлуповатой отдельностью. Цвет - светло-коричневый. На контакте с морденитом в стекле отмечаются скопления рудного вещества, видимо при метасоматическом замещении цеолит не в состоянии был вобрать в свою структуру все железо и часть его сбрасывал в виде окисной фазы. Интересно, что на контакте с агрегатами левинита, в отличие от морденита, никакого рудного вещества не наблюдается.

Морденит в вулканите определен рентгеноструктурными исследованиями по характерному набору отражений соответствующих эталону из ASTM, card 6-0239 (табл.1). Все пики цеолита наблюдаются на фоне небольшого гало, показывающего примесь аморфного вулкани-

Рис.1. Прожилки морденита (Md) со сферолитами левинита (Lv) в стекловатой массе (Ст) перлитового дацита из Тальниковой площади.

Без анализатора. Размер поля 1,5 мм.

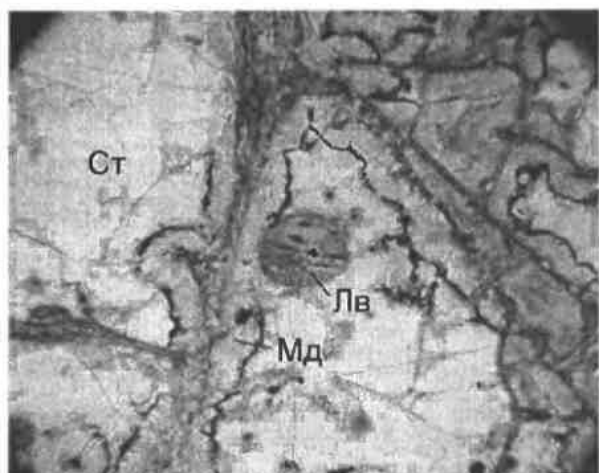


Таблица 1

Рентгеноструктурные данные цеолитов из перлитового дацита Тальниковой площади.

| Морденит. ASTM 6-0239 | | | Измененный перлит | |
|---|-----|-----|---|-----|
| d | I | hkl | d | I |
| 13,7 | 50 | 110 | 13,8 | 45 |
| - | - | - | 10,2 | 10 |
| 9,10 | 90 | 200 | 9,02 | 80 |
| - | - | - | 8,50 | 15 |
| 6,61 | 90 | 111 | 6,56 | 65 |
| 6,38 | 40 | 130 | 6,39 | 30 |
| 6,10 | 50 | 021 | 6,12 | 5 |
| 5,79 | 50 | 201 | 5,82 | 35 |
| 5,03 | 10 | 221 | - | - |
| 4,87 | 20 | 131 | 4,84 | 25 |
| 4,53 | 80 | 330 | 4,53 | 85 |
| - | - | - | 4,23 | 5 |
| 4,14 | 30 | 420 | 4,15 | 20 |
| - | - | - | 4,08 | 5 |
| 4,00 | 90 | 150 | 4,00 | 55 |
| 3,84 | 60 | 241 | 3,84 | 20 |
| 3,76 | 20 | 002 | 3,78 | 40 |
| 3,62 | 10 | 112 | 3,64 | 10 |
| - | - | - | 3,59 | 5 |
| 3,56 | 10 | 510 | 3,56 | 5 |
| 3,48 | 100 | 202 | 3,49 | 100 |
| 3,39 | 90 | 060 | 3,39 | 45 |
| 3,31 | 10 | 222 | 3,34 | 15 |
| 3,22 | 100 | 530 | 3,22 | 85 |
| 3,10 | 20 | 441 | - | - |
| 2,946 | 20 | 531 | 2,96 | 15 |
| 2,896 | 60 | 402 | 2,89 | 25 |
| $a_0 18,16 \pm 0,05$ $b_0 20,45 \pm 0,05$ $c_0 7,54 \pm 0,13$ Е | | | $a_0 18,20 \pm 0,05$ $b_0 20,45 \pm 0,05$ $c_0 7,54 \pm 0,13$ Е | |

Примечание. ДРОН-2.0, УГГГА, аналитик Н.Г. Сапожникова; цифры не соответствующие пикам морденита являются отражениями другого цеолита - левинита.

ческого стекла. Кроме того, в исследованной пробе отмечается ряд отражений характерных для цеолита – левинита (табл.1).

Химический состав морденита немного отличается от теоретического, приведенного в номенклатуре цеолитов [Recommended..., 1997]. Для него отмечается небольшая примесь FeO до 3,24 мас.% и TiO₂ до 0,3 мас.% (табл.2). По данным кристаллохимического пересчета все железо в мордените представлено двухвалентной разностью и входит в позицию натрия. Подобный изоморфизм не является редкостью для цеолитов, и двухвалентные катионы легко могут замещать позиции более крупных щелочных металлов. Химический состав левинита не определялся, но его можно уверенно относить к натриевой разновидности, так как в окружаю-

щей системе содержание кальция не превышает 0,62 мас.%.

По химическому составу вулканическое стекло относится к семейству дацитов (табл.2, ан.3) перлитового типа, так как количество воды не превышает 10% и составляет 9,05 мас.%. Пересчет на нормативный состав по методу CIPW дает следующие содержания минералов: кварц 34,6%, альбит 34,3%, гиперстен 11,5%, ортоклаз 13,8%, анортит 4,3% и корунд 1,6%. На дискриминационной диаграмме Rb-Y+Nb [Pearce et al., 1984] данные перлитовые дациты попадают в поле внутриплитных гранитоидов. Это хорошо согласуется с тем, что вулканическое стекло залегает совместно с риолитами и базальтами, сформировавшимися, как считается, в условиях континентального рифтогенеза.

Таблица 2

Химический состав цеолита и вулканического стекла (в мас.%) из Тальниковой площади

| NN | 1 | 2 | 3 |
|--------------------------------|-------|-------|--------|
| SiO ₂ | 70,41 | 69,87 | 67,69 |
| TiO ₂ | 0,27 | 0,28 | 0,38 |
| Al ₂ O ₃ | 12,90 | 12,34 | 11,13 |
| Fe ₂ O ₃ | - | - | 0,70 |
| FeO | 3,08 | 3,24 | 4,20 |
| MgO | 0,11 | 0,12 | 0,65 |
| CaO | 0,24 | 0,26 | 0,62 |
| MnO | 0,08 | 0,16 | 0,13 |
| Na ₂ O | 1,65 | 1,66 | 3,69 |
| K ₂ O | 0,25 | 0,48 | 2,12 |
| П.п.п. | - | - | 9,05 |
| P ₂ O ₅ | - | - | 0,02 |
| Сумма | 88,99 | 88,40 | 100,39 |

Примечание. 1, 2 – морденит, аналитик Н.Н. Кононкова, МГУ, кафедра минералогии, микроанализатор «Camebax SX-50»; 3 – дацит, химическая лаборатория ИГиГ УрО РАН.

На спайдер-диаграмме, нормированной по составу примитивной мантии, приводится кривая распределения дацита в сравнении с риолитом и базальтом из той же Тальниковой площади (рис.2). Все вулканиты имеют определенное геохимическое сходство, у них наблюдается общая отрицательная аномалия по гафнию, стронцию, европию и титану. Дацит занимает промежуточное значение между риолитом и базальтом, но больше тяготеет к последнему из-за сходства в поведении таких элементов как барий, торий, уран и калий (рис.2).

Возраст перлитов вероятно нижнетриасовый, так как расположенные на Тальниковой площади риолиты, имеющие, по всей видимости, более высокое стратиграфическое положение, дают 238 ± 6 млн лет, а нижележащие базальты - 241 ± 7 млн лет (возраст определялся K-Ag методом, ИГГ УрО РАН, аналитик Б.А. Калеганов).

Цеолитизация вулканического стекла достигает 50-60% от всего объема породы. Покровы вулканических стекол характерны для близжерловых фаций, кроме того, они обычно слагают кровлю вулканогенных комплексов и служат в какой-то мере экраном для накопления флюидов под ними. Подобные морденитовые скопления образуются в районах активной циркуляции поствулканических гидротермальных растворов за счет изменения вулканического стекла и алюмосиликатных минералов вулканогенных пород преимущественно кислого состава. Поскольку перлитовые дациты сильно изменены, значит, подстилающие кислые вулканиты и туфы по всей вероятности цеолитизированы.

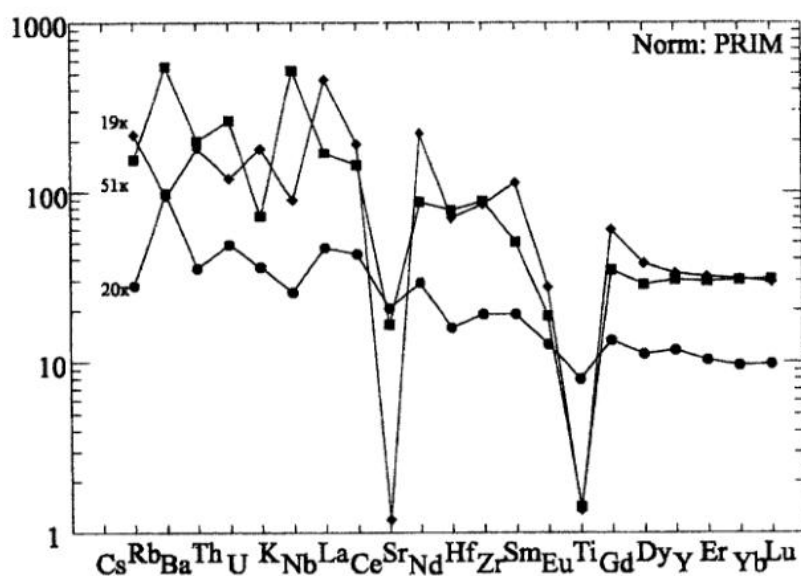


Рис.2. Распределение микроэлементов, нормализованных по примитивной мантии, в риолите (19к), перлитовом даците (51к) и базальте (20к) из Тальниковой площади.

ны нацело. В пределах Тальниковой площади сделаны еще находки цеолитов морденит-клиноптиолитового типа среди риолитов из скважин 6804 и других, что может говорить о наличие площадного цеолитового оруденения промышленного типа.

*Исследования проведены при частичной
(Иванов К.С., Ерохин Ю.В.) поддержке РФФИ
(грант 02-05-64111)*

Список литературы

Иванов К.П. Триасовая трапповая формация Урала. М.: Наука, 1974. 155 с.

Pearce J.A., Harris N.B.W., Tindle A.G. Trace element discrimination diagrams for the tectonic interpretation of granitic rocks // Journal of Petrology. 1984. V. 25. P. 956-983.

Recommended nomenclature for zeolite minerals: report of the subcommittee on zeolites of the international mineralogical association, commission on new minerals and mineral names // The Canadian Mineralogist. 1997. V. 35. P. 1571-1606.